

# Soft-Tip을 가진 Dual Finger의 파지운동제어에 관한 연구

박경택\*(울산대 대학원 자동차공학과), 양순용(울산대 기계·자동차공학부),  
한현용(Ritsumeican University Dept. Of Robotics)

## Research of Controlled Motion of Dual Fingers with Soft-Tips Grasping

K. T. Park(Auto. Eng. Dept., USU), S. Y. Yang(Mech. & Auto. Eng. School, USU)  
H. Y. Han(Robotics Dept., RMKU)

### ABSTRACT

This paper attempt analysis and computer simulation of dynamics of a set of dual multi-joint fingers with soft-deformable tips which are grasping. Firstly, a set of differential equation describing dynamics of the fingers and object together with geometric constraint of tight area-contacts is formulated by Euler-Lagrange's formalism. Secondly, problems of controlling both the internal force and the rotation angle of the grasped object under the constraints of area-contacts of tight area-contacts are discussed. The effect of geometric constraints of area-contacts on motion of the overall system is analyzed and a method of computer simulation for overall system of differential-algebraic equations is presented. Finally, simulation results are shown and the effects of geometric constraints of area-contact is discussed.

**Key Words :** Soft Finger (소프트 팽거), Robot-Finger(로봇-팽거), Stable Grasping (안정 파지), Soft-Tips(소프트-팁), Multi-Finger, Robot Hands, Manipulating, Dual Finger.

### 1. 서론

사람의 손은 어떠한 특수한 조건에서도 물리적인 일을 할 수 있지만 로봇의 손은 그렇지 못하다. 사람의 이런 본능적인 기술을 수치적인 운동방정식으로 나타내기 어려운 것이 문제이다. 이런 사람의 기술을 효율적으로 접근해나가 로봇의 제어기를 찾아낸다면 로봇을 사람의 움직임처럼 유연하게 할 수 있을 것이다. 생물학 문헌에도 대부분의 지능적인 부분으로 구성된 사람의 손은 어떠한 조건에서도 유기적으로 움직임을 알 수 있다.<sup>[1]</sup> 오늘날 로봇을 이용한 생산공정과 조립공정에서도 물체의 조건에 따라 사람의 손처럼 안정적으로 파지 할 수 있는 유연한 로봇 팽거의 파지동작이 요구되고 있다. 팽거 거의 모든 논문의 문제는 로봇의 팽거 끝단을 딱딱하게 둔 접촉으로 가정하였고 접촉시 일어나는 접촉면의 위치 변화를 계산하지 않았거나 물체 표면에서 팽거 끝단의 룰링을 변화시켰다.<sup>[2][3]</sup> 그러나 강성접촉은 전마찰과 비정상적인 못한 슬립을 발생시킨다. 그러

나 부드럽고 변형이 가능한 물질을 로봇-팽거의 끝단에 덮어씌워서 높은 마찰과 안정된 파지를 할 수 있다. 물체와 소프트-팽거의 접촉면에서 슬립 의한 롤링은 안정된 파지의 성능을 높일 수 있다.<sup>[4]</sup> 이것은 물체의 최종 좌표계가 서로 다른 면에 접촉한 두 개의 팽거가 쉽게 물체와 수직으로 접촉면을 움직일 수 있는 것이다. 본 논문에서는 물체에 접촉을 할 때 안정된 파지를 위해 팽거가 움직여야 할 방향에 대해 알아보고자 한다.

처음에 물체와 로봇의 소프트-팽거 사이에 시스템을 Euler-Lagrange로서 운동방정식을 유도하고 다음에는 처음에 구한 운동방정식을 토대로 하여 피드백 컨트롤을 설계한다. 또 소프트-팽거로서 물체를 꽉 잡았을 때의 시스템에 대해서도 시뮬레이션을 하여 해석을 해보았다. 본 연구에서 제시된 파지 동작 계획은 부품 파지 시스템을 기준의 해석방법이 아닌 비선형성도 고려를 하여 해석을 하게 된다. 본 연구에서 설정한 모델은 수평방향으로만 움직일 수 있다고 가정하고 설계를 하였다.

## 2. 로봇 평거의 운동방정식

**2.1 로봇 평거와 물체의 운동방정식 해석**  
2개의 소프트-평거를 가지는 로봇의 운동방정식은 수평방향으로 제한하고 중력의 영향을 받지 않는다고 가정한다. 양쪽 평거의 끝단에는 변형 가능한 실리콘과 같은 물질로 반원의 형태로 있다고 가정하고 Fig. 1에 대한 운동방정식을 도출한다. ( $i=1$ 는 왼쪽손가락,  $i=2$ 는 오른쪽손가락)

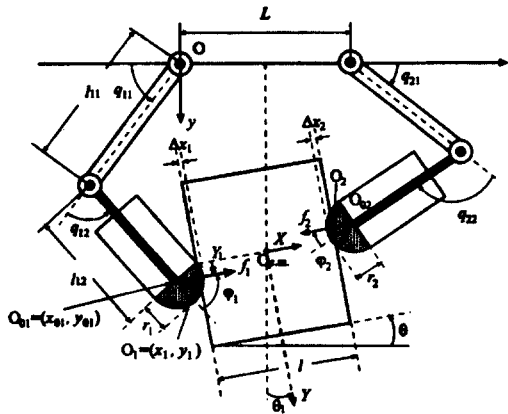


Fig. 1 A mechanical hand with dual fingers whose ends are covered with soft material

우선은 각각 소프트-팁 부분을 제외한 로봇-평거의 끝점과 물체가 만나는 점을 좌표  $O_{01} = (x_{01}, y_{01})$ ,  $O_{02} = (x_{02}, y_{02})$ 로하고 각각의 조인트가 이루는 각도를  $q_{11}, q_{12}, q_{21}, q_{22}$ 로서 표현한다.

$$x_{01} = -l_{11} \cos q_{11} - l_{12} \cos(q_{11} + q_{12}) \quad (1a)$$

$$y_{01} = l_{11} \sin q_{11} + l_{12} \sin(q_{11} + q_{12}) \quad (1b)$$

$$x_{02} = L + l_{21} \cos q_{21} + l_{22} \cos(q_{21} + q_{22}) \quad (1c)$$

$$y_{02} = l_{21} \sin q_{21} + l_{22} \sin(q_{21} + q_{22}) \quad (1d)$$

소프트-팁과 물체가 만나는 점  $O_i = (x_i, y_i)$ 를 기하학적 형상에 의해 계산하면 다음과 같이 표현된다.

$$x_1 = x_{01} - (r_1 - \Delta x_1) \cos(q_{11} + q_{12} + \varphi_1) \quad (2a)$$

$$y_1 = y_{01} - (r_1 - \Delta x_1) \sin(q_{11} + q_{12} + \varphi_1) \quad (2b)$$

$$x_2 = x_{02} - (r_2 - \Delta x_2) \cos(q_{21} + q_{22} + \varphi_2) \quad (2c)$$

$$y_2 = y_{02} - (r_2 - \Delta x_2) \sin(q_{21} + q_{22} + \varphi_2) \quad (2d)$$

물체의 중심을  $x, y$ 라고 하면 웃식의 상관관계는 식(3a)(3b)와 같다.

$$x = x_1 + \frac{l}{2} \cos \theta - Y_1 \sin \theta \quad (3a)$$

$$= x_2 - \frac{l}{2} \cos \theta - Y_2 \sin \theta$$

$$y = y_1 - \frac{l}{2} \sin \theta - Y_1 \cos \theta \quad (3b)$$

$$= y_2 + \frac{l}{2} \sin \theta - Y_2 \cos \theta$$

## 2.2 물체와 소프트-팁의 접촉

Fig. 2는 소프트 팁이 직각으로 물체와 접촉했을 때의 각  $\varphi$ 을 이루고 접촉했을 때 물체중심과의 거리가 변한다는 것을 보여준다. 물체를 꽉 잡았을 때는 다음과 같은 상관관계를 가지고 있다.

$$\varphi_1 = Y_1 - c_1 + r_1 \varphi_1 = 0 \quad (4a)$$

$$\varphi_2 = Y_2 - c_2 + r_2 \varphi_2 = 0 \quad (4b)$$

여기서  $c_1, c_2$ 는 상수이다.

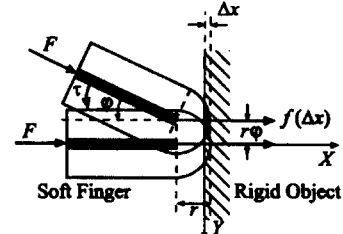


Fig. 2 The center of contact area moves

## 2.3 운동방정식

위에서 구한 기구학적인 방정식을 운동에너지  $K$ 를 표현하면 식(5)처럼 표현된다.

$$K = \frac{1}{2} \sum_{i=1,2} \dot{q}_i^T H(q_i) \dot{q}_i + \frac{1}{2} (M \dot{x}^2 + M \dot{y}^2 + I \dot{\theta}^2) \quad (5)$$

단,  $M = \begin{pmatrix} m & 0 & 0 \\ 0 & m & 0 \\ 0 & 0 & I \end{pmatrix}$ ,  $m$  : 소프트평거의 질량.

$q_i = (q_{1i}, q_{2i})^T$  : Joint angel vector

포텐셜에너지  $P$ 를 표현하면 식(6)와 같다.

$$P = \sum_{i=1,2} \int_0^{\Delta x_i} f_i(\xi) d\xi \quad (6)$$

로봇 소프트-평거의 운동에너지와 포텐셜에너지은 에너지 함수  $S$ 로 표현하기 위해 식(5)(6)에 의해 표현을 하면 식(7)와 같이 된다.

$$S = \sum_{i=1,2} \left( \frac{1}{2} \varepsilon_i (\Delta x_i) \dot{\varphi}_i^T + \lambda_i (Y_i - c_{i+} r_i \varphi_i) \right) \quad (7)$$

단,  $\lambda_i$  ( $i=1,2$ )

여기에 Hamilton의 원리를 적용하여 양쪽 로봇팔거의 운동모델을 세우면 식(8)와 같이 되고 물체의 운동모델은 식(9)과 같이 된다.

$$H_i(q_i)\ddot{q}_i + \left(\frac{1}{2} \dot{H}_i(q_i)\dot{q}_i + S_i(q_i, \dot{q}_i)\right)\dot{q}_i + \left(\frac{\partial \Delta x_i}{\partial q_1}\right)^T f_i(\Delta x_i) = u_i \quad (8)$$

$$\begin{aligned} M\ddot{z} + \left(\frac{\partial \Delta x_1}{\partial z}\right)^T f_1(\Delta x_1) \\ + \left(\frac{\partial \Delta x_2}{\partial z}\right)^T f_2(\Delta x_2) = 0 \end{aligned} \quad (9)$$

단,  $z = (x, y, \theta)^T$  : 물체의 무게중심 및 각도  
 $\dot{q}_1^T, \dot{q}_2^T$ 과 식(8),  $\dot{z}^T$ 과 식(9)사이의 관계를 수식으로 표현하면 식(10)과 같다.

$$\dot{q}_1^T + \dot{q}_2^T = \frac{d}{dt}(K+P) \quad (10)$$

그러므로 입력( $u_1, u_2$ )과 출력( $\dot{q}_1, \dot{q}_2$ )에서 파지가 가능하다는 것을 알 수 있다.

### 3. 안정적 파지 제어

#### 3.1 접촉면의 무시

팔거의 파지를 위한 목표함을  $f_d$ 라 하고 목표각을  $\theta_d$ ,  $q_1, q_2$ 는 실제에서 센서로서 측정을 하고  $\dot{q}_1, \dot{q}_2$ 는 수치적으로 계산한다.  $Y_1, Y_2, x, y, \theta$ 는 알고 있는 값이다. 제어입력값은 Arimoto에 의해 제안된 식(11)(12)를 쓴다.<sup>[4]</sup>

$$u_1 = J_{01}^T \begin{pmatrix} \cos \theta \\ -\sin \theta \end{pmatrix} f_d \quad (11)$$

$$-k_{v1} \dot{q}_1 - \frac{r_1 f_d}{r_1 + r_2} (Y_1 - Y_2) \begin{pmatrix} 1 \\ 1 \end{pmatrix}$$

$$u_2 = J_{02}^T \begin{pmatrix} -\cos \theta \\ \sin \theta \end{pmatrix} f_d \quad (12)$$

$$-k_{v2} \dot{q}_2 - \frac{r_2 f_d}{r_1 + r_2} (Y_1 - Y_2) \begin{pmatrix} 1 \\ 1 \end{pmatrix}$$

물체와 로봇의 변수들은 Table1.의 값을 사용하였다. 시뮬레이션은 짧은 시간 행하였으며,  $f_1(\Delta x_1)$ 과  $f_2(\Delta x_2)$ 가 Fig.3에서 보는 것과 같이 목표값  $f_d = 1$ 사이에서 진동하는 것을 알 수 있다.

#### 3.2 접촉면의 고려

위의 시뮬레이션(Fig.3)은 물체의 회전각과 접촉면에서의 중심 이동무시하고 설계한 것이다. 접촉면과 물체의 회전값을 피드백하고 여기에 접촉면을 고

려하여 운동방정식을 구하면 식(13)(14)과 같이 된다.

$$\Phi_1 = Y_1 - c_1 + r_1(\pi + \theta - q_{11} - q_{12}) = 0 \quad (13)$$

$$\Phi_2 = Y_2 - c_2 + r_2(\pi + \theta - q_{21} - q_{22}) = 0 \quad (14)$$

여기에 Hamilton의 원리를 적용하여 양쪽 로봇팔거의 운동모델을 세우면 식(15)과 같이 되고 물체의 운동모델은 식(16)과 같다.

$$H_i(q_i)\ddot{q}_i + \left(\frac{1}{2} \dot{H}_i(q_i)\dot{q}_i + S_i(q_i, \dot{q}_i)\right)\dot{q}_i + \left(\frac{\partial \Delta x_i}{\partial q_1}\right)^T f_i(\Delta x_i) - \lambda_1 \frac{\partial \Phi_i}{\partial Q_1} = u_i \quad (15)$$

$$\begin{aligned} M\ddot{z} + \left(\frac{\partial \Delta x_1}{\partial z}\right)^T f_1(\Delta x_1) + \left(\frac{\partial \Delta x_2}{\partial z}\right)^T f_2(\Delta x_2) \\ - \lambda_1 \frac{\partial \Phi_1}{\partial z} - \lambda_2 \frac{\partial \Phi_2}{\partial z} = 0 \end{aligned} \quad (16)$$

$\dot{q}_1, \dot{q}_2$ 와 식(15),  $\dot{z}$ 와 식(16)사이의 관계를 수식으로 표현하면 식(17)과 같다.

$$\dot{q}_1^T + \dot{q}_2^T = \frac{d}{dt}(K+P) \quad (17)$$

그러므로 입력( $u_1, u_2$ )과 출력( $\dot{q}_1, \dot{q}_2$ )에서 파지가 가능하다는 것을 알 수 있다.

제어 입력값에서 물체의 회전각을 고려하여 입력값을 구하면 아래식(18)과 같이 표현된다.

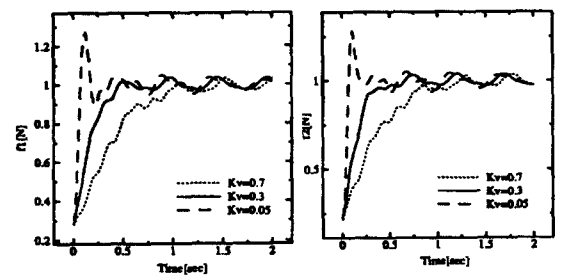
$$\begin{aligned} \bar{u}_i = u_i - \left\{ J_{0i}^T \begin{pmatrix} \sin \theta \\ \cos \theta \end{pmatrix} - r_i \begin{pmatrix} 1 \\ 1 \end{pmatrix} \right\} (\alpha \Delta \theta \\ + \beta \Delta \theta) + \Delta u_i \end{aligned} \quad (18)$$

식(18)을 이용하여 "Constraint Stabilization Method" (CSM)을 사용하여 2차 미분 방정식을 구하면 아래식(19)과 같이 표현된다.<sup>[4]</sup>

$$\Phi'' + r_i \Phi' + \omega_i \Phi_i = 0 \quad (19)$$

단, ( $i=1, 2$ )

식(17)(18)(19)을 이용하여 Runge-kutta로 응답을 구하면 Fig.4, Fig.5, Fig.6, Fig.7과 같이 상당한 안정적인 파지동작을 볼 수 있다.



(a) Left Finger

(b) Right Finger

Fig. 3 Responses of force at finger of  $K_v$

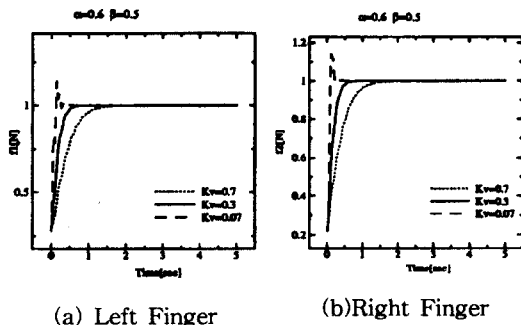


Fig. 4 Responses of force at finger of  $K_v$

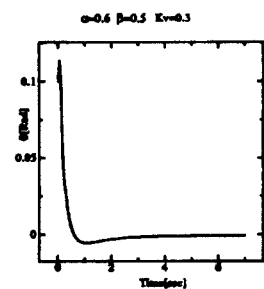


Fig. 5 Rotation angle the object

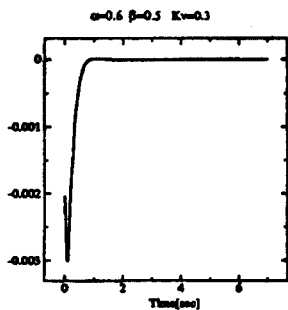


Fig. 6 Discrepancy between  
 $Y_2$  &  $c_2 - r_2 \varphi_2$

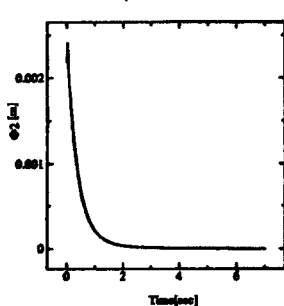


Fig. 7 Discrepancy between  
 $Y_2$  &  $c_2 - r_2 \varphi_2$

Table 1. Parameters of the finger and the object

| $m_1$ (kg) | $m_2$ (kg) | $l_1$ (m) | $l_2$ (m)                | $r_i$ (m) |
|------------|------------|-----------|--------------------------|-----------|
| 0.3        | 0.28       | 0.08      | 0.07                     | 0.01      |
| $L$ (m)    | $I$ (m)    | $m$ (kg)  | $I$ (kg m <sup>2</sup> ) | $K_e$     |
| 0.07       | 0.05       | 0.3       | 0.00025                  | 1600      |

#### 4. 결론

본 연구에서는 소프트-팁이 연결된 Dual-Finger가 물체를 안정적으로 파지할 수 있도록 운동방정식을 도출하고 시뮬레이션을 해보았다. 시뮬레이션 결과에서 보듯이 운동방정식이 틀리지 않았음을 알 수가 있다. 차후에 2 자유도의 실제 로봇을 만들어서 실제로 설계한 제어기가 잘 맞는지 실험해보는 것이다..

#### 후기

본 연구는 울산대학교 RRC와 일본의 Ritumeican University와의 연구교류에 의하여 이루어졌습니다.

#### 참고문헌

1. Mason T., Salisbury J.K, "Robot hands and the mechanics of manipulation" The MIT Press, Cambridge USA, 1985.
2. Y. Yokokohji, M. Sakamoto, T. Yoshikawa "Vision-aided object manipulation by a multifingered hand with soft fingertips", proc. IEEE Int. Conf On Robotica and Automation, pp.3201 ~ 3207, 1999
3. P.Akella, M.Cutkosky, "Manipulating with soft fingers", proc. IEEE Int. Conf On Robotica and Automation, vol.2, pp.764 ~ 769, 1989
4. S.Arimoto, Pham T, Hyun-Yong H, Zoe.D"Dynamics and control of a set of dual fingers with soft tips" Robotica, vol.18, No.1, pp.71 ~ 80, 2000.
5. T. Naniwa, S.Arimoto, Louis L. Whitcomb "Learnig contol for robot tasks under geometric comstrants, IEEE Trans. on Robotica and Automaiton, vol.11, no.3, pp.432 ~ 441, 1995
6. 이대길, 최상민, "로보틱스 입문", 흥룡과학출판사, 1991.
7. 강철구, 권인소, 외 "로봇 동역학과 제어", 회중당, 1994